

# بیبود توان تفکیک تصاویر چندبینایی فلورسنت مولکولی با استفاده از الگوریتم unmixing خطی

## خلاصه

**مقدمه:** یکی از انواع تصویربرداری‌های مولکولی، روش برش‌نگاری فلورسنت مولکولی است که در آن، نمونه در زوایای مختلف تحت تابش پرتوی لیزر قرار می‌گیرد و پس از تحریک، مبادرت به تابش پرتوی فلورسنت می‌نماید. در این شیوه تصویربرداری نوری مکان تجمع ماده فلورسنت در بافت با توجه به شدت فلورسنت رسیده به سطح نمونه تعیین می‌شود. بررسی چندین فرآیند زیستی نیازی ضروری در کاربردهای پزشکی و بیولوژیکی است. برای انجام این قبیل بررسی‌ها برای نشاندار کردن اجزای مورد نظر از مواد فلورسنت مختلف استفاده می‌شود و تصویربرداری بهروش چندبینایی اجسام می‌شود. اما، به دلیل همپوشانی بیناب تابشی مواد فلورسنت، تفکیک اجزای نشاندار شده از هم میسر نیست. برای ایجاد بهبود در تفکیک اجزا از الگوریتم‌های ریاضی موسوم به unmixing مبتنی بر روش فاکتورگیری ماتریسی غیرمنفی (NMF) در تصاویر برش‌نگاری فلورسنت است.

**روش بررسی:** این مطالعه بهطور مجزا در دو بخش شبیه‌سازی و آزمایشگاهی اجرا شد. در هر دو بخش، شدت فلورسنت رسیده به سطح نمونه حاوی دو ماده فلورسنت مختلف در پروجکشن‌های متعدد در چند طول موج به دست آمد سپس الگوریتم unmixing بر روی تصاویر پروجکشن اعمال شد. برای تعیین صحت عملکرد الگوریتم، تصاویر پروجکشن از هریکاژ دو ماده فلورسنت ایجاد شد و به عنوان داده مرجع برای مقایسه با تصاویر حاصل از اعمال الگوریتم در نظر گرفته شد. ارزیابی کمی با محاسبه ضریب همبستگی و جذر میانگین مربع اختلاف (RMSE) انجام شد سپس داده‌های حاصل اعمال الگوریتم مورد بازسازی قرار گرفتند.

**یافته‌ها:** نتایج به دست آمده نشان دادند تصاویر حاصل از اعمال الگوریتم با تصاویر مرجع مربوطه بیش از ۹۷ درصد همبستگی داشتند. بین جذر میانگین مربع اختلاف تصاویر حاصل از اعمال الگوریتم با تصاویر مرجع مرتبط و غیرمرتبط تفاوت معنی دار مشاهده شد ( $P.value < 0.01$ ) که نشان‌دهنده صحت عملکرد الگوریتم بود.

**بحث و نتیجه‌گیری:** در این مقاله الگوریتم unmixing مبتنی بر روش NMF برای جداسازی سهم نسبی دو فلوروفور در تصاویر پروجکشن نوشته شد. صحت این الگوریتم با آزمون همبستگی و  $t_{test}$  بررسی و تأیید شد. نتایج بازسازی با استفاده از داده‌های حاصل از الگوریتم نشان می‌دهد با این روش می‌توان توزیع هریک از فلوروفورها را بهطور جداگانه به دست آورد.

**واژه‌های کلیدی:** unmixing، خطی، روش فاکتورگیری ماتریسی غیرمنفی، تصویربرداری چندبینایی، روش برش‌نگاری فلورسنت

پروین میرزاقوامی<sup>۱</sup>

مرجانه حجازی<sup>۲،\*</sup>

بهادر مکی‌آبادی<sup>۳</sup>

محسن ابراهیمی<sup>۱</sup>

<sup>۱</sup>کارشناسی ارشد، گروه فیزیک و مهندسی پژوهشکی، دانشکده پژوهشکی، دانشگاه علوم پژوهشکی، تهران، ایران  
<sup>۲</sup>دانشیار، گروه فیزیک و مهندسی پژوهشکی، دانشکده پژوهشکی، دانشگاه علوم پژوهشکی تهران، تهران، ایران

<sup>۳</sup>استادیار، گروه فیزیک و مهندسی پژوهشکی، دانشگاه علوم پژوهشکی تهران، ایران  
<sup>\*</sup>کارشناسی ارشد، مرکز تحقیقات علوم و تکنولوژی در پژوهشکی، بیمارستان امام خمینی(ره)، تهران، ایران

نویسنده مسئول: مرجانه حجازی، تلفن ۰۹۱۲۴۸۴۱۳۳۹  
پست الکترونیک: mhejazi@sina.tums.ac.ir

## مقدمه

تصویربرداری از گرههای لنفاوی در حین جراحی، تشخیص بیماری‌های پوستی، بررسی عملکرد داخلی ارگان‌های مانند بافت پستان و مغز و شناخت توالی ژنی مورد استفاده قرار می‌گیرد [۱].

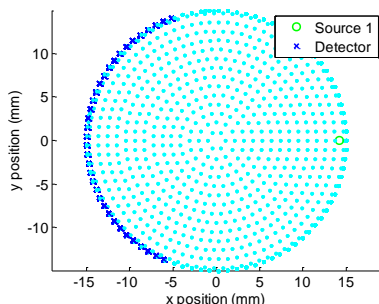
برش‌نگاری فلورسنت مولکولی به عنوان یک روش غیر تهاجمی برای مشاهده فرآیندها در اندازه سلوی و زیرسلوی به کار می‌رود. این روش به طور گستردگی در تصویربرداری از حیوانات کوچک،

زخاراکیس و همکاران با استفاده از یک اسپکتروومتر، بیناب تابشی مواد فلورسنت را همزمان با انجام تصویربرداری ثبت کردند و با استفاده از بیناب‌های تابشی ثبت شده از مواد فلورسنت در داخل نمونه، روش unmixing در تصویربرداری فلورسنت توموگرافی را در مد بازتابشی برای جداسازی توزیع دو فلوروفور متفاوت واقع در عمق ۳ میلی‌متر به کار بردند [۱۱]. عدم مزیت این روش را می‌توان در نیاز به امکانات سخت‌افزاری بیشتر دانست. از این‌رو استفاده از روش‌های جداسازی منابع کور در تصویربرداری‌های فلورسنت مطرح می‌شود. روش‌های مختلفی برای حل مسئله unmixing مبتنی بر جداسازی منابع کور وجود دارد که در هریک از آن‌ها قیدهای خاصی برای تخمین اجزا در نظر گرفته می‌شود و به عنوان مثال‌هایی از این قیدها می‌توان به مستقل بودن، تعامل، تنک بودن و غیرمنفی بودن اشاره کرد که از میان آن‌ها غیرمنفی بودن از اهمیت خاصی برخوردار است زیرا داده‌های فیزیکی در صورت مثبت بودن دارای مفهوم هستند. روش فاکتورگیری ماتریس (NMF) یکی از روش‌های جداسازی منابع کور است که در آن قید غیرمنفی بودن در نظر گرفته می‌شود. روش فاکتورگیری ماتریسی (NMF) برای جداسازی سیگنال‌های فلورسنت در تصاویر میکروسکوپی فلورسانس به کار برده شده است [۱۰]. در این زمینه در سال ۲۰۱۰، خانم Montcuquet و همکاران در تصویربرداری در مد بازتابشی برای جداسازی بیناب‌ها و حذف تابش اتوفلورسانس از الگوریتم (NMF) به عنوان یک روش جداسازی منابع کور استفاده کردند [۱۳]. در سال ۲۰۱۳، آقای پو و همکاران از روش تحلیل مؤلفه‌های اصلی (PCA) به عنوان یکی از روش‌های مبتنی بر جداسازی منابع کور برای تفکیک دو غلظت مختلف ICG در تصاویر توموگرافی فلورسنت استفاده کردند. در این روش ابتدا بازسازی تصاویر در طول موج‌های مختلف انجام شد سپس با اعمال PCA بر روی تصاویر بازسازی شده توزیع مربوط به هریک از غلظتها به صورت جداگانه به دست آمد [۱۴]. در این روش به دلیل انجام شدن بازسازی در طول موج‌های مختلف حجم محاسبات سیگنال‌ها می‌باشد. در حالی که فرض اساسی در همبسته بودن سیگنال‌ها می‌باشد. در این روش اساسی در روش (NMF) غیرمنفی بودن مقادیر می‌باشد که مطابقت بیشتری با شرایط واقعی دارد. مطالعات نشان می‌دهد انجام unmixing به روش فاکتورگیری ماتریسی غیرمنفی تاکنون در تصویربرداری برش‌نگاری فلورسنت ملکولی چندین‌بینایی برای جداسازی توزیع فلوروفورهای مختلف به کار نرفته است. هدف ما در این مطالعه تفکیک توزیع ۳بعدی دو فلوروفور مختلف با اعمال روش (NMF)

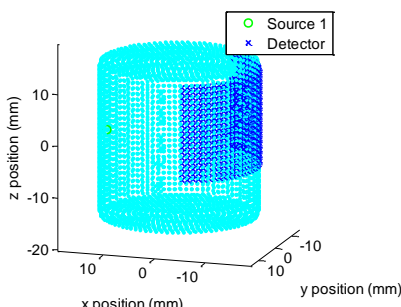
در برش‌نگاری فلورسنت مولکولی (FMT)، بافت توسط نانوذرات فلورسنت نشاندار می‌شود. سپس نمونه تحت آزمایش توسط لیزر درخشن می‌شود، فلورسنت تحریک و شروع به تابش می‌کند. شدت پرنوی فلورسنت رسیده به سطح بافت با چرخش ۳۶۰° شدت درجه آشکارساز حول محور مرکزی نمونه ثبت می‌گردد. با استفاده از این روش تصویربرداری می‌توان اطلاعاتی در مورد نحوه توزیع مواد فلورسنت در نمونه به دست آورد. البته نتایج بازسازی در این تصویربرداری به دلیل میزان بالای پراکندگی نور در بافت و محیط‌های دارای توان تفکیک مکانی محدود است [۲۰-۲۳]. اما در بسیاری از کاربردهای بیولوژیکی و پزشکی لازم است چندین هدف به طور همزمان بررسی شوند که به عنوان نمونه می‌توان به مطالعه ایمونولوژیکی جمعیت‌های مختلف سلول‌های T و انتقال ژن به بافت معیوب در درمان سرطان اشاره کرد [۴-۵]. در این موارد چندین ماده فلورسنت به طور همزمان جهت نشاندار کردن بافت و رده‌های سلولی به کار می‌روند و تصویربرداری به روش چندین‌بینایی انجام می‌شود تا مشاهده جزئیات با جداسازی سیگنال تابشی فلوروفور مورد نظر با استفاده از فیلترهای مناسب میسر گردد [۶]. اما به دلیل هم‌پوشانی بیناب تابشی مواد فلورسنت، تفکیک اجزای نشان‌دار شده تنها با استفاده فیلترهای تداخلی از هم میسر نیست. روش معمول برای تفکیک فلوروفورها در میکروسکوپ فلورسانس الگوریتم unmixing خطی براساس اطلاعات طیفی است [۷-۸]. در این روش شدت ثبت شده در هر پیکسل به صورت ترکیب خطی بیناب تابشی مواد فلورسنت موجود در نمونه در نظر گرفته می‌شود سپس سهم هر ماده فلورسنت با معکوس‌سازی ماتریس بینایی به دست می‌آید. در سال ۲۰۰۹، خانم Simatiraki و همکاران از این روش unmixing خطی برای جداسازی فلوروفورها در تصویربرداری توموگرافی فلورسنت با مد عبوری استفاده کردند [۹] اما روش تصویربرداری فلورسنت 3D با اعمال روش 3D باستفاده از طیف‌های فلورسنت به نتایج صحیحی منجر نمی‌شود زیرا به دلیل وابستگی ضریب جذب محیط به طول موج، طیف هریک از مواد فلورسنت تضعیفی متغیر است از دیگر فلورسنت‌ها متحمل خواهد شد که این تفاوت در میزان تضعیف به طول موج تابشی فلورسنت و میزان هم‌پوشانی طیف تابشی آن ماده با طیف جذبی محیط انتشار بر می‌گردد [۹].

همچنین در تصویربرداری‌های *in vivo* استفاده روش جداسازی براساس اطلاعات طیفی مرجع با خطأ مواجه است زیرا شکل طیفی مواد فلورسنت تحت تأثیر خصوصیات شیمیایی محیط تغییر می‌کند [۱۰]. برای رفع این مشکل در سال ۲۰۱۱

اپتیکی به کاررفته در معادلات باید در طول موج‌های مورد نظر به دست آورده شود. مقادیر ضرایب جذب و پراکندگی کاهش یافته در طول موج تحریک و طول موج‌های تابشی مورد نظر برای مدل استوانه‌ای با توجه به نتایج به دست آمده از تحقیقات سرازی و همکاران در زمینه اندازه‌گیری کلینیکی ضرایب جذب و پراکندگی بافت تعیین گردید[۱۶]. مواد فلورسنت با غلظت  $M_1$  و طول موج لیزر  $600$  نانومتر در نظر گرفته شدند. به این ترتیب مقدار ضریب خاموشی  $\epsilon$  فلوروفورها با توجه به منحنی ضریب خاموشی فلوروفور و طول موج لیزر تعیین گردید. ضریب جذب فلورسانس  $= 2.303\epsilon(C(r), \lambda_e)$  هریک از فلوروفورها از رابطه  $C(r) = C(r, \lambda_e)_{af}$  به دست آمد. بازده کوانتموی نیز در طول موج‌های تابشی  $670$  نانومتر و  $710$  نانومتر برای هریک از فلوروفورها با توجه طیفی آن‌ها به دست آمد. سامانه تصویربرداری به کاررفته در این مطالعه قابلیت چرخش حول نمونه را دارد و منبع لیزر می‌تواند نمونه را در زوایای مختلف تحت تابش قرار دهد. به همین دلیل در مدل سازی مکان منبع لیزر در  $12\pi$  موقعیت با فواصل زاویه‌ای  $30^\circ$  درجه در نظر گرفته شد. با توجه به اینکه در سامانه تصویربرداری دوربین همواره مقابله لیزر قرار گرفته است، آرایه‌ای از آشکارسازها در یک میدان دید  $140$  درجه‌ای در مقابل هر منبع لیزر ایجاد شد. موقعیت نسبی لیزر و آشکارسازها در یکی از زوایا در شکل ۱ و ۲ نشان داده شده است.



شکل ۱: نمای ۲دُو بعدی از موقعیت نسبی لیزر و آشکارساز در یک پروژکشن



شکل ۲: نمای ۳بعدی از موقعیت نسبی لیزر و آشکارساز در یک پروژکشن

بر روی تصاویر پروژکشن چندبینایی است.

### روش بررسی

این مطالعه به طور مجزا در دو بخش شبیه‌سازی و آزمایشگاهی اجرا گردید. در هر دو بخش، شدت فلورسنت رسیده به سطح نمونه حاوی دو ماده فلورسنت مختلف در پروژکشن‌های متعدد در گستره‌های طول موجی مختلف به دست آمد و سپس تصاویر چندبینایی به دست آمده به عنوان ورودی الگوریتم مذکور قرار گرفتند.

### روش شبیه‌سازی

برای شبیه‌سازی تصاویر پروژکشن باید شدت رسیده به سطح محاسبه شود که انجام این محاسبه با حل مدل فوروارد محقق می‌شود. در تصویربرداری فلورسنت، مدل فوروارد شامل حل دو معادله مشتق جزیی است که یک معادله چگونگی انتشار پرتوی لیزر در طول موج تحریک  $\lambda_{exc}$  و معادله دیگر چگونگی انتشار پرتو از هر پروب فلورسنت در طول موج تابش  $\lambda_m$  را توصیف می‌نماید[۱۵].

$$\nabla \cdot D_x(r) \nabla \Phi_x(r) - \mu_{ax}(r) \Phi_x(r) = -Q_0(r) \quad (1)$$

$$\nabla \cdot D_m(r) \nabla \Phi_m(r) - \mu_{am}(r) \Phi_m(r) = -\Phi_x(r) \eta \mu_{af}(r) \quad (2)$$

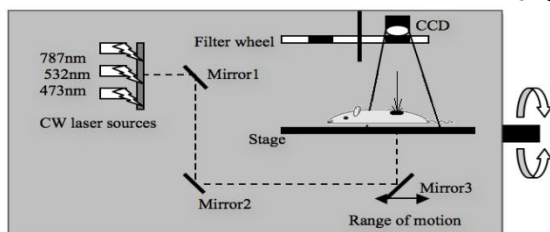
این دو معادله از طریق  $\Phi_x(r) \eta \mu_{af}(r)$  که تبدیل پرتوی لیزر به پرتوی فلورسنت را نشان می‌دهد، بهم کوپل شده‌اند. در معادلات فوق  $D_{x,m}$  ضریب دیفیوژن،  $\mu_{x,m}$  ضریب جذب جذب محیط،  $\eta$  بازده کوانتموی،  $\mu_{af}$  ضریب جذب فلورسانس و  $\Phi_{x,m}$  شدت پرتوی رسیده به سطح در طول موج تحریکی و تابشی می‌باشد. در حل دو معادله شرط مرزی رابین در نظر گرفته می‌شود[۱۵].

برای انجام مدل فوروارد ابتدا فانتوم با ایجاد یک مش استوانه‌ای مدل سازی شد. مش مورد نظر به صورت استوانه‌ای و با تعیین شعاع  $(R)$   $15$  میلی‌متر و ارتفاع  $(h)$   $40$  میلی‌متر و تعیین فواصل بین گره‌های  $1/0.5$  میلی‌متر ایجاد شد. برای مدل سازی مواد فلورسنت، دو ناحیه با خصوصیات اپتیکی متفاوت از زمینه در داخل مش در نظر گرفته شد. این نواحی به صورت کره‌هایی با شعاع  $2$  میلی‌متر ایجاد شدند. تعیین ویژگی اپتیکی این نواحی شیوه‌سازی تصاویر پروژکشن چندبینایی مستلزم اجرای مدل فوروارد در طول موج‌های مختلف است. از این‌رو تمام پارامترهای

در مرحله هر تکرار الگوریتم، مسئله حداقل مربعات برای بهدست آوردن یکی از ماتریس‌ها ( $S$  یا  $A$ ) با ثابت نگهداشتن ماتریس دیگر حل می‌شود. الگوریتم‌های NMF مبتنی بر دو روش MATLAB و Multiplicative Update ALS در محیط MATLAB نوشته و اجرا شدند. پس از اجرای الگوریتم، برای بهدست آوردن توزیع ۳ بعدی هر کدام از مواد فلورسنت، تصاویر پروجکشن unmixed مربوط به ماده مورد نظر باید به صورت ورودی برنامه بازسازی نرم‌افزار NIRFAST تبدیل شود. برای انجام این تبدیل برنامه‌ای در محیط MATLAB نوشته شد. بازسازی از طریق یک پروسه تکرارشونده اجرا می‌شود که در هر تکرار در ضمن تغییر ویژگی اپتیکی هر وکسل، مدل فوروارد محاسبه شده ( $\Phi^c$ ) و با داده‌های اندازه‌گیری شده ( $\Phi^M$ ) که همان داده‌های ورودی برنامه هستند، مقایسه می‌شود. بهینه کردن مقادیر ویژگی اپتیکی با به حداقل رساندن اختلاف بین مدل فوروارد به دست آمده و داده‌های اصلی انجام می‌شود.

#### روش آزمایشگاهی

در این قسمت ابتدا فانتوم معادل بافت ساخته شد [۱۹]. در این فانتوم دو ماده فلورسنت در فاصله ۱۴ میلی‌متر از هم قرارداده شد و سپس در داخل نگهدارنده مورد نظر قرار گرفت سپس دو لوله موبین حاوی فلورسین و رادامین در فاصله ۱۴ میلی‌متر از هم در داخل فانتوم قرارداده شد و تصویربرداری با استفاده از فیلترهای میان‌گذر با پیک عبوری ۵۶۰ نانومتر، ۵۹۰ نانومتر و ۶۵۰ نانومتر در زوایای مختلف پروجکشن با گام‌های ۳۰ درجه انجام گرفت. تصویر شماتیک سامانه تصویربرداری در شکل ۳ مشاهده می‌شود.



شکل ۳: تصویر شماتیکی از سیستم تصویربرداری توموگرافی فلورسنت مولکولی

الگوریتم‌های unmixing بروی تصاویر چندبینایی اعمال شد. این مرحله برای هر زاویه پروجکشن به طور مستقل و جداگانه انجام شد. پس از اجرای الگوریتم‌های جداسازی بروی تصاویر ثبت شده توسط دوربین CCD، تصویر مربوط به شدت هر ماده فلورسنت به صورت جداگانه به دست می‌آید. برای به دست آوردن

پس از مدل سازی نمونه، سامانه تصویربرداری و ایجاد فایل‌های مربوطه، مدل فوروارد با حل معادله دیفیوژن توسط برنامه NIRFAST به روش المان محدود اجرا شد و با استفاده داده‌های فوروارد مربوط به هر موقعیت زاویه‌ای لیزر، تصاویر پروجکشن به دست آمدند.

برای بازسازی توزیع هر پروب فلورسنت به طور تفکیک شده، الگوریتم‌های unmixing بروی تصاویر پروجکشن چندبینایی اعمال شد. این مرحله برای هر زاویه پروجکشن به طور مستقل انجام شد. برای تبدیل تصاویر پروجکشن به داده در طول موج به صورت یک بردار ستونی  $n \times m$  در می‌آید و در یک ستون از ماتریس  $M$  قرار می‌گیرد، این ماتریس به عنوان ورودی الگوریتم NMF قرار گرفت. به طور کلی در الگوریتم NMF ماتریس  $A$  غیر منفی  $M$  در تکرارهای به روز شونده به دو ماتریس غیر منفی  $A$  و  $S$  تجزیه می‌شود:

$$M \approx AS \quad (3)$$

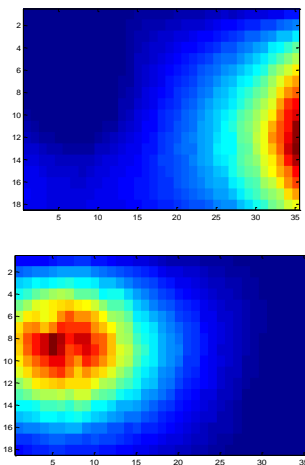
که در معادله فوق، ماتریس پایه  $A$  با ابعاد  $n \times r$  و ماتریس ضرایب ترکیب با ابعاد  $r \times m$  است. در آغاز الگوریتم، مقادیر رندوم برای ماتریس‌های  $S$  و  $A$  در نظر گرفته می‌شود. مقدار  $r$  با توجه به تعداد فلوروفورها برابر ۲ در نظر گرفته شد. در این الگوریتم برای تخمین دو ماتریس در نظر گرفتن یک معیار شباهت برای سنجش اختلاف بین ماتریس اولیه  $M$  و ماتریس تقریبی  $M^*$  که پس از انجام تجزیه از حاصل ضرب ماتریس  $A$  و  $S$  به دست می‌آید، ضروری است. پرکاربردترین معیار شباهت فاصله اقلیدسی است که برای سنجش دقت از آن استفاده شد. الگوریتم NMF براساس روش‌های مختلفی وجود دارد که در این مطالعه از دوروش استفاده شده است.

در روش Multiplicative Update ابتدا هر دو ماتریس  $(S, A)$  به ورودی‌های رندوم ایجاد می‌شوند و سپس در هر برآردی حلقه تکرار الگوریتم با روابط ضرب شونده ارائه شده توسط لی و سونگ به روزرسانی می‌شوند [۱۷].

در روش NMF مبتنی بر حداقل مربعات متناوب (NMF\_ALS) هر تکرار شامل دو مرحله است که در هر مرحله یک مسئله حداقل مربعات وجود دارد [۱۸].

$$S \leftarrow \arg \min \|M - AS\|_F^2 \quad S \geq 0 \quad (4)$$

$$A \leftarrow \arg \min \|M - AS\|_F^2 \quad A \geq 0$$



شکل ۵: تصاویر unmixed حاصل از اعمال الگوریتم NMF\_ALS در زاویه صفر درجه

پس از شبیه‌سازی تصاویر چندبینایی، الگوریتم‌های جداسازی ذکر شده بر روی آن‌ها اعمال شد. برای بررسی صحت عملکرد الگوریتم‌ها ابتدا تصاویر پروجکشن در حالتی که فقط یکی از منابع فلورسنت در داخل مشن واقع است، شبیه‌سازی شد. به عنوان داده مرجع برای مقایسه با تصاویر حاصل از اعمال الگوریتم در نظر گرفته شد. به این ترتیب با در اختیار داشتن تصویر هریک از منابع فلورسنت به صورت جداگانه، معیاری برای انجام بررسی به دست آمد. بررسی عملکرد هر الگوریتم برای هر منبع فلورسنت با مقایسه تصویر اصلی آن و تصاویر حاصل از اعمال آن الگوریتم انجام شد. برای هریک از منابع، بررسی با محاسبه جذر میانگین مربع اختلاف، نسبت بیشینه سیگنال به نویز و ضریب همبستگی بین تصویر اصلی و تصویر حاصل از الگوریتم جداسازی مرتبط به آن منبع ( $R_1, PSNR_1, RMSE_1$ ) و مقایسه با همین پارامترها بین تصویر اصلی و تصویر غیر مرتبط حاصل از الگوریتم جداسازی ( $R_2, PSNR_2, RMSE_2$ ) انجام شد. برای انجام ارزیابی، هر الگوریتم ۸ بار اجرا شد و بدلیل قابل اعتماد بودن مقادیر انحراف معیار، فقط مقادیر میانگین مربوط به زاویه صفر درجه در جداول زیر آورده شده است.

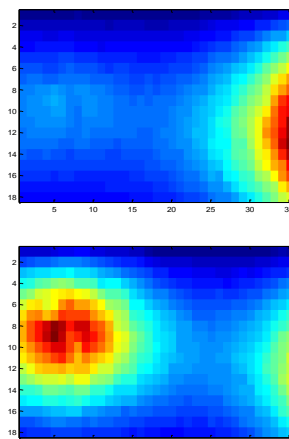
جدول ۱: نتایج مقایسه کمی الگوریتم‌ها در جداسازی منبع فلورسنت اول در زاویه صفر درجه

$R_2$	$R_1$	$PSNR_2$	$PSNR_1$	$RMSE_2$	$RMSE_1$	الگوریتم
۰/۲۵	۰/۸۷	۶۱/۶۷	۶۹/۰۹	۰/۲۱۰	۰/۰۸۹	NMF(Multiplicative)
۰/۰۵	۰/۹۸	۵۸/۵۳	۷۳/۶۰	۰/۲۹۱	۰/۰۵۳	NMF_ALS

توزیع ۳ بعدی هر کدام از مواد فلورسنت، تصاویر پروجکشن unmixed مربوط به ماده مورد نظر باید به صورت ورودی برنامه بازسازی نرم‌افزار NIRFAST تبدیل شود. به این منظور ابتدا یک مدل استوانه‌ای مشبندی شده با همان ابعاد نمونه مورد تصویربرداری ایجاد شد. از آنجایی که CCD مجموعه‌ای از فوتوندکتورها است، موقعیت‌های مشخصی روی سطح CCD به عنوان مکان آشکارسازها انتخاب شدند و با توجه به تصویر پرتوی لیزر در صفحه CCD مکان لیزر در سمت مقابل روی سطح مش در نظر گرفته شد. مقادیر به دست آمده پس از unmixing بر روی صفحه آشکارساز ایجاد شده تصویر گشت. این مراحل برای تمام زوایای تصویربرداری اجرا شد که برای اجرا برنامه‌ای در محیط MATLAB نوشته شد. در پایان، تصاویر جداسازی شده با استفاده از برنامه NIRFAST مورد بازسازی قرار گرفتند.

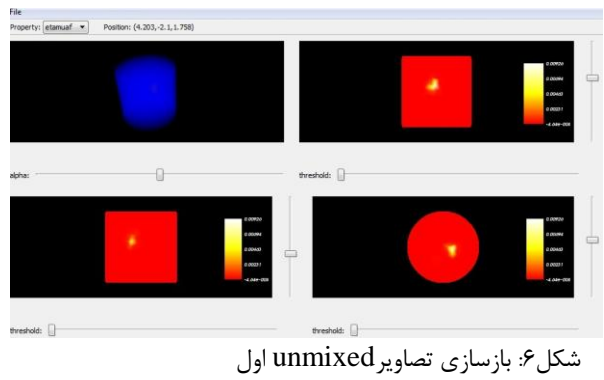
## یافته‌ها

مدل فوروارد برای اندازه‌گیری شار فوتونی رسیده به سطح در طول موج‌های مورد نظر انجام شد و سپس داده‌های به دست آمده با توجه به ابعاد صفحه آشکارساز تعریف شده روی سطح مش به تصاویر پروجکشن تبدیل شدند. در شکل ۴ تصاویر پروجکشن در ۲ طول موج ذکر شده در زاویه صفر درجه نشان داده شده است:

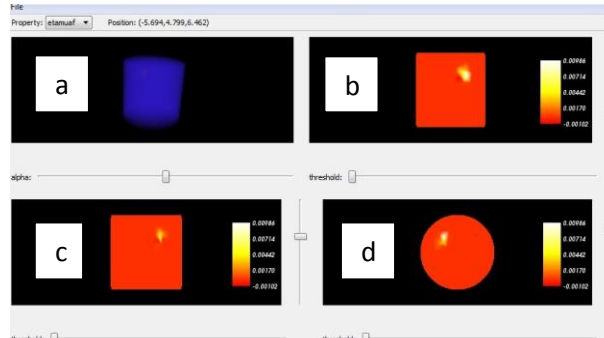


شکل ۴: تصاویر پروجکشن شبیه‌سازی شده در زاویه صفر درجه در طول موج ۶۷۰ و ۷۱۰ نانومتر

تصاویر حاصل از اعمال الگوریتم جداسازی در این زاویه در شکل ۵ نشان داده شده است:

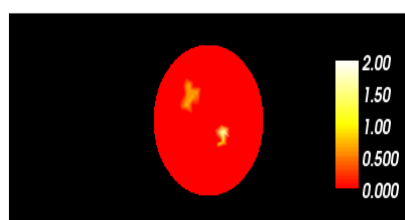


شکل ۶: بازسازی تصاویر unmixed اول

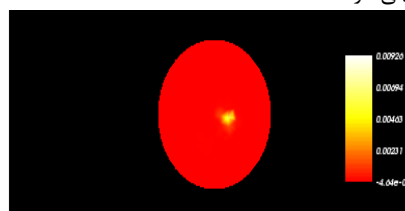


شکل ۷: بازسازی تصاویر unmixed دوم، در قسمت a نتیجه بازسازی به صورت حجمی و در قسمت های b و c و d به ترتیب سطح مقطع های این حجم در راستای X و Y و Z مشاهده می شود.

مقایسه مکان منابع فلورسنت در مدل استوانه ای و مکان آنها در نتایج حاصل از بازسازی هریک از داده های unmixed NMF\_ALS را سطح مقطع یکسان دقت بالای روش جداسازی برای تصاویر توموگرافی فلورسنت نشان می دهد.



شکل ۸: سطح مقطعی از مدل استوانه ای شامل دو منبع فلورسنت در  $Z=3/8$  میلی متر



شکل ۹: سطح مقطع تصویر بازسازی شده از داده های unmixed اول در  $Z=3/8$  میلی متر

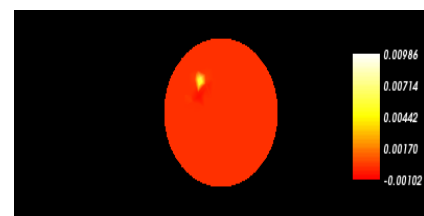
در زاویه صفر درجه با توجه به مقادیر R<sub>1</sub> برای هر ۲ الگوریتم تصویر منبع فلورسنت اول همبستگی بالایی با تصویر اول حاصل از اعمال الگوریتم ها وجود دارد و میزان اختلاف با تصویر اول حاصل از الگوریتم ها (باتوجه به مقادیر  $R_1$  و  $PSNR_{R_1}$ ) در مقایسه با میزان اختلاف با تصویر دوم حاصل از الگوریتم (باتوجه به مقادیر  $R_2$  و  $PSNR_{R_2}$ ) به طور معنی داری کمتر است. این مقادیر نشان می دهند منبع فلورسنت اول فقط در تصویر اول حاصل از الگوریتم وجود دارد و جداسازی انجام شده است. با مقایسه این مقادیر در ۲ الگوریتم عملکرد بهتر الگوریتم های NMF\_ALS مشهود است.

جدول ۲: نتایج مقایسه کمی الگوریتم ها در جداسازی منبع فلورسنت دوم در زاویه صفر درجه

R <sub>2</sub>	R <sub>1</sub>	PSNR <sub>2</sub>	PSNR <sub>1</sub>	RMSE <sub>2</sub>	RMSE <sub>1</sub>	الگوریتم
۰/۴۰	۰/۱۴	۶۰/۸۳	۵۸/۳۶	۰/۲۳۱	۰/۳۰۷	NMF(Multiplicative)
۰/۹۹	۰/۳۰	۷۹/۶۲	۵۵/۸۵	۰/۰۲۶	۰/۴۱۰	NMF_ALS

در زاویه صفر درجه با توجه به مقادیر R<sub>2</sub> برای هر ۲ الگوریتم تصویر منبع فلورسنت دوم همبستگی بالایی با تصویر دوم حاصل از اعمال الگوریتم ها وجود دارد و میزان اختلاف با تصویر دوم حاصل از الگوریتم ها (باتوجه به مقادیر  $R_2$  و  $PSNR_{R_2}$ ) در مقایسه با میزان اختلاف با تصویر اول حاصل از الگوریتم (باتوجه به مقادیر  $R_1$  و  $PSNR_{R_1}$ ) کمتر است. این مقادیر نشان می دهند منبع فلورسنت دوم فقط در تصویر دوم حاصل از الگوریتم وجود دارد و جداسازی انجام شده است. با مقایسه این مقادیر در ۲ الگوریتم عملکرد بهتر الگوریتم های NMF\_ALS مشهود است. پساز انجام جداسازی براساس الگوریتم NMF\_ALS برای تمام زوایای پروژکشن، برنامه بازسازی NIRFAST نرم افزار (تصاویر unmixed اول و تصاویر unmixed دوم) به طور جداگانه اجرا شد. نتایج بازسازی در شکل ۵ و ۶ مشاهده می شود:

به عنوان مثال اگر در ماتریس‌های آغازین عناصری با مقادیر صفر وجود داشته باشد، این عناصر تا پایان صفر باقی خواهند ماند و این قفل‌شدن‌گی روی عناصر صفر یکی از دلایل ایجاد مشکل است. در مقایسه با این الگوریتم، الگوریتم مبتنی بر حداقل مربعات متناوب از انعطاف‌پذیری بالاتری برخوردار است که در آن امکان تغییر مسیر در فرآیند تکرار وجود دارد [۱۸]. از دیگر مزیت‌های روش حداقل مربعات متناوب می‌توان به سرعت بالاتر اجرای آن (PCA) اشاره کرد. لازم به ذکر است روش تحلیل مؤلفه‌های اصلی (PCA) که اخیراً برای مورد به کار برده شده است [۱۴] را در این مطالعه نیز مورد ارزیابی قرار دادیم، اما با توجه به اینکه در مطالعه ما اعمال الگوریتم‌های جداسازی پیش از انجام بازسازی انجام می‌گرفت، این روش همانند روش‌های (NMF) برروی تصاویر پروژکشن اجرا شد و به طور مشابه مورد ارزیابی قرار گرفت. اما طبق نتایج به دست آمده با توجه به مقادیر PSNR و ضریب همبستگی با تصاویر مرجع اصلی، روش (NMF\_ALS) در مقایسه با روش (PCA) عملکرد بهتری داشت. به طوری که میزان ضریب همبستگی بین تصاویر unmixed با تصاویر مرجع مربوطه ۸۸ درصد و ۹۳ درصد به دست آمد که در مقایسه با همین پارامترها در روش (NMF\_ALS) کمتر بود (درصد ۹۸ درصد و ۹۹ درصد). اختلاف بین PSNR<sub>۱</sub> و PSNR<sub>۲</sub> در روش (PCA) نیز به طور قابل ملاحظه‌ای (در حدود ۱۵ دسی‌بل) نسبت به روش (NMF\_ALS) کمتر بود. از این‌رو می‌توان الگوریتم مبتنی بر حداقل مربعات متناوب (NMF\_ALS) را روش مناسب‌تری برای جداسازی منابع فلورسنت در تصاویر پروژکشن دانست. نتایج حاصل از بازسازی در مقاله مذکور با نتایج حاصل از بازسازی در این مطالعه به طور شهودی قابل مقایسه است. همچنین به عنوان یک مزیت این روش می‌توان به این نکته اشاره کرد که با به کاربردن الگوریتم جداسازی پیش از انجام بازسازی، نیازی به اجرای بازسازی تصویرکه پرسه‌ای زمان بر است، در طول موج‌های مختلف نمی‌باشد. نتایج بازسازی با استفاده از داده‌های حاصل از این الگوریتم نشان دادند با انجام بازسازی روی تصاویر جداسازی شده حاصل از اعمال این الگوریتم، می‌توان موقعیت و توزیع هریک از فلوروفورها را به طور جداگانه به دست آورد.



شک.۲: سطح مقطع تصویر بازسازی شده از داده‌های unmixed دوم در  $z=3/8$  میلی‌متر

## بحث و نتیجه‌گیری

در این مقاله الگوریتم‌های unmixing مبتنی بر روش NMF برای جداسازی سهم نسبی دو منبع فلورسنت در تصاویر پروژکشن جهت تفکیک توزیع سه‌بعدی آن‌ها نوشته شد. این روش علی‌رغم ارائه نتایج مطلوب در جداسازی فلوروفورها در تصاویر میکروسکوپی و بازتابشی فلورسانس تاکنون در مورد تصاویر توموگرافی فلورسنت به کار گرفته نشده است. استفاده از روش‌های جداسازی بینایی در مورد تصاویر توموگرافی، امکان بررسی همزمان چندین هدف را مهیا می‌کند و استفاده از این روش‌ها می‌تواند مشکل توان تفکیک مکانی نامناسب در نتایج حاصل از بازسازی را برطرف نماید. صحت عملکرد هر دو الگوریتم NMF با آزمون همبستگی و  $t_{\text{test}}$  بررسی و تأیید شد. اما با مقایسه دو الگوریتم تصاویر جداسازی شده توسط الگوریتم مبتنی بر حداقل مربعات متناوب (NMF\_ALS) همبستگی بیشتری (بیش از ۹۶ درصد در تمام پروژکشن‌ها) با تصاویر مرجع دارند. در حالی که مقدار ضریب همبستگی برای الگوریتم مبتنی بر قوانین به روزرسانی ضرب‌شونده بین ۴۰ درصد تا ۸۸ درصد داشتند. همچنین با توجه به داده‌های به دست آمده برای پارامترهای PSNR<sub>۱</sub> و PSNR<sub>۲</sub> و مقادیر P.value استفاده از الگوریتم مبتنی بر حداقل مربعات متناوب به طور قابل توجهی به نتایج بهتری در مقایسه با الگوریتم دیگر منجر شده است. این نتیجه می‌تواند به این علت باشد که در الگوریتم مبتنی بر قوانین به روزرسانی ضرب‌شونده اگر مقادیر تصادفی که درابتدا درنظر گرفته شدند به طور مناسبی انتخاب نشده باشند، تا پایان تکرارهای الگوریتم، مقادیر ماتریس‌ها در یک مسیر نادرست، که ناشی از انتخاب نادرست مقادیر اولیه است، به روزرسانی می‌شوند.

## References

- Paulsen, K.D, Jiang H. Spatially varying optical property reconstruction using a finite element diffusion equation approximation. Medical Physics, 1995; 22: 691.
- Li, M, Zhang Y, Bai J. In vivo diffuse optical tomography and fluorescence

- molecular tomography. *Journal of Healthcare Engineering*, 2010; 1(3): 477-507.
3. Zavattini G. A hyperspectral fluorescence system for  $^{18}\text{F}$  in vivo optical imaging. *Physics in medicine and biology*, 2006; 51(8)): 2029.
  4. Zacharakis G. Volumetric tomography of fluorescent proteins through small animals in vivo. *Proceedings of the National Academy of Sciences of the United States of America*, 2005; 102(51): 18252-7.
  5. Germain R.N. Dynamic imaging of the immune system: progress, pitfalls and promise. *Nature Reviews Immunology*, 2006; 6(7): 497-507.
  6. Pawley JB, Masters BR. Handbook of biological confocal microscopy. *Journal of Biomedical Optics*, 2008; 13(2): 9902.
  7. Zimmermann T, Rietdorf J, Pepperkok R. Spectral imaging and its applications in live cell microscopy. *FEBS letters*, 2003; 546(1): 87-92.
  8. Papadakis A. A novel spectral microscope system: application in quantitative pathology. *Biomedical Engineering, IEEE Transactions on*, 2003; 50(2): 207-17.
  9. Simantiraki M. Multispectral unmixing of fluorescence molecular tomography data. *Journal of Innovative Optical Health Sciences*, 2009; 2(4): 353-64.
  10. Neher RA. Blind source separation techniques for the decomposition of multiply labeled fluorescence images. *Biophysical journal*, 2009; 96(9): 3791-800.
  11. Zacharakis, G. Spectroscopic detection improves multi-color quantification in fluorescence tomography. *Biomedical optics express*, 2011; 2(3): 431-9.
  12. Munoz-Barrutia A. Blind spectral unmixing of M-FISH images by non-negative matrix factorization. in *Engineering in Medicine and Biology Society*, 2007. EMBS 2007. 29th Annual International Conference of the IEEE. 2007. IEEE.
  13. Montcuquet AS. Nonnegative matrix factorization: a blind spectra separation method for in vivo fluorescent optical imaging. *Journal of biomedical optics*, 2010; 15(5): 056009.
  14. Pu H. Separating structures of different fluorophore concentrations by principal component analysis on multispectral excitation-resolved fluorescence tomography images. *Biomedical optics express*, 2013; 4(10): 1829-45.
  15. Davis SC. Image-guided diffuse optical fluorescence tomography implemented with Laplacian-type regularization. *Opt. Express*, 2007; 15(7): 4066-82.
  16. Cerussi AE. Sources of absorption and scattering contrast for near-infrared optical mammography. *Academic radiology*, 2001; 8(3): 211-8.
  17. Seung D, Lee L. Algorithms for non-negative matrix factorization. *Advances in neural information processing systems*, 2001; 13: 556-62.
  18. Berry MW. Algorithms and applications for approximate nonnegative matrix factorization. *Computational Statistics & Data Analysis*, 2007; 52(1): 155-73.
  19. Hejazi M. Improving the accuracy of a solid spherical source. 2010.